

В. П. ГОЛОВАЧЕВ, Ю. Н. ДРОЗДОВ, Э. А. КУЗЬМИН,  
академик Н. В. БЕЛОВ

**КРИСТАЛЛИЧЕСКАЯ СТРУКТУРА ФЕНАКСИТА**  
**FeNaK[Si<sub>4</sub>O<sub>10</sub>] (KNaFe[Si<sub>4</sub>O<sub>10</sub>])**

Хибинский минерал фенаксит — K, Na, Fe-силикат — открыт в 1959 г. М. Д. Дорфманом <sup>(1)</sup>. Приведенные в <sup>(2)</sup> параметры триклинической ячейки фенаксита были уточнены по дублетам CuK<sub>α,β</sub>, на нулевых вейсенберговских развертках:  $a = 6,98$ ,  $b = 8,24$ ,  $c = 9,98 \text{ \AA}$ ;  $\alpha = 114^\circ 12'$ ,  $\beta = 80^\circ 14'$ ,  $\gamma = 115^\circ 36'$ . При плотности  $2,74 \text{ г/см}^3$  такая ячейка содержит  $Z = 2$  единицы состава KNaFeSi<sub>4</sub>O<sub>10</sub>. Формула, полученная на основе химического анализа двух образцов <sup>(1)</sup>, скорректирована настоящим структурным исследованием.

Экспериментальный рентгенографический материал составили 2100 ненулевых отражений на вейсенбергограммах  $0kl - 7kl$ ,  $h0l - h5l$  (Мо-излучение,  $\sin \theta / \lambda \leqslant 1,2 \text{ \AA}$ ). Интенсивности оценивались по  $\sqrt{2}$ -шкале марок почернения. Для слоевых старше 2-й введена поправка на форму пятна по Филлипсу <sup>(3)</sup>. Для кристаллов  $1 \times 0,2 \times 0,2 \text{ mm}^3$  поправки на поглощение не вводились.

Исходная модель структуры фенаксита получена из анализа трехмерной функции Патерсона. Попытка использовать наличие более тяжелых атомов Fe и симметрию (статистические тесты делали более вероятной группу  $P\bar{I}$ ) не привела к успеху из-за большого числа перекрывающихся межатомных векторов, и мы обратились к методу кратных пиков <sup>(4)</sup>, который в нашей лаборатории привел к успеху при расшифровке ряда структур <sup>(5, 6)</sup>. Однако наличие в фенаксите атомов разного веса ( $Z_{\text{Fe}} = 26$ ,  $Z_{\text{Si}} = 14$ ) существенно мешало практической реализации этого метода.

Таблица 1  
Координаты базисных атомов в фенаксите

Атомы	x/a	y/b	z/c	Атомы	x/a	y/b	z/c
K	0,140	0,809	0,010	O <sub>3</sub>	0,632	0,424	0,167
Na	0,525	0,270	0,410	O <sub>4</sub>	0,431	0,838	0,286
Fe	0,049	0,299	0,407	O <sub>5</sub>	0,791	0,798	0,220
Si <sub>1</sub>	0,669	0,913	0,213	O <sub>6</sub>	0,790	0,139	0,280
Si <sub>2</sub>	0,230	0,631	0,270	O <sub>7</sub>	0,033	0,629	0,205
Si <sub>3</sub>	0,380	0,304	0,131	O <sub>8</sub>	0,175	0,589	0,418
Si <sub>4</sub>	0,803	0,632	0,273	O <sub>9</sub>	0,760	0,655	0,436
O <sub>1</sub>	0,630	0,856	0,041	O <sub>10</sub>	0,251	0,192	0,237
O <sub>2</sub>	0,294	0,457	0,133				

При извлечении основной системы из векторной вместо двух по <sup>(4)</sup> использовано 7 пиков функции Патерсона. В результате удалось выделить основную систему, содержащую 11 пиков, однако идентифицировать их на основе функции Патерсона не удалось.

Первый синтез электронной плотности был поэтому получен с использованием одной усредненной  $f_{\text{Si}}$ -кривой. Положения этих 11 атомов уточнились м.н.к. с учетом индивидуализированных тепловых поправок, и на

третьем этапе последовательных приближений электронной плотности были фиксированы все атомы в полной модели структуры.

Хотя процедура выделения основной системы проводилась без учета центра симметрии, последний отчетливо проявился на окончательной модели фенаксита.

Заключительные значения всех 51 позиционных параметров приведены в табл. 1 и характеризуются  $R = 14,8\%$  ( $B_{\text{общ}} = 0,6 \text{ \AA}^{-1}$ ). Межатомные расстояния не выходят из обычных пределов (табл. 2).

Кристаллическая структура фенаксита в полиздрах показана на рис. 1, 2, 3. Основным архитектурным компонентом структуры оказался трубчатый кремнекислородный радикал  $[\text{Si}_8\text{O}_{20}]_\infty$  нового вида. Нагляднее всего

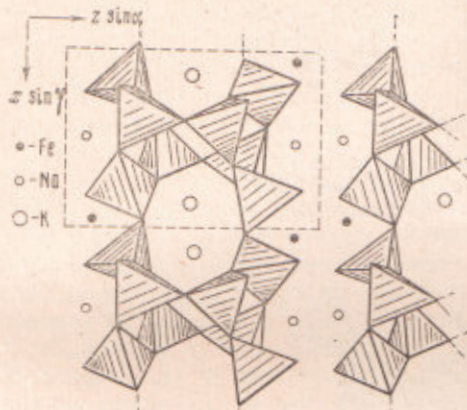


Рис. 1. Фенаксит  $\text{KNaFe}[\text{Si}_4\text{O}_{10}]$ . Проекция структуры вдоль оси  $y$ . Выделена трубчатая лента из  $\text{Si}$ -тетраэдров

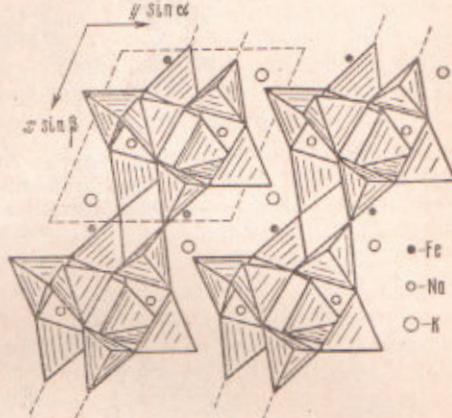


Рис. 2. Фенаксит. Проекция вдоль оси  $z$  с выделенными  $\text{Si}$ -тетраэдрами

он описывается как результат «конденсации» двух власовитовых цепочек по схеме  $2 [\text{Si}_4\text{O}_{11}]_\infty - 20 = [\text{Si}_8\text{O}_{20}]_\infty$ . Трубчатые радикалы с диметасиликатной брутто-формулой  $\text{Si}_2\text{O}_5$  обнаружены в 1960 г. в нарсарсуките (°) и недавно в канасите (°) (рис. 3). В первом трубка с квадратным сече-

Таблица 2

Межатомные расстояния в фенаксите ( $\text{\AA}$ )

	$\text{Si} - \text{O}$	$\text{O} - \text{O}$	$\text{Na}$ -полиэдр	$\text{Na} - \text{O}$	$\text{O} - \text{O}$
Si-тетраэдры	$1,55 \pm 1,69$	$2,54 \pm 2,73$	(к. ч. 5)	$2,44 \pm 2,79$	$2,9 \pm 4,00$
	Cр. 1,61	Cр. 2,64		Cр. 2,53	Cр. 3,58
Fe-полиэдр	$1,98 \pm 2,31$	$2,9 \pm 3,36$	К-полиэдр	$2,73 \pm 3,41$	
(к. ч. 5)	Cр. 2,12	Cр. 3,08	(к. ч. 10)	Cр. 3,04	

нием образуется в результате «поэтажного» соединения пар диортогрупп по закону винтовой двузаходной 4-ной оси ( $4_2$ ) с гантелями, параллельными осям трубки. В канасите трубка с 8-угольным сечением, четыре «параллельные» гантели размещены на «одном этаже» и две «перпендикулярные» им диортогруппы на следующем. В фенаксите трубка имеет 6-угольное сечение, на каждом этаже размещены по две диортогруппы, но, в отличие от нарсарсукита, этаж с «параллельными» (оси трубки) гантелями чередуется с этажом, где гантели перпендикулярны (оси трубки), что и делает трубчатую ленту конденсатом двух власовитовых цепочек.

У каждого тетраэдра  $\text{SiO}_4$  три кислородные вершины разделяются с другими  $\text{Si}$ -тетраэдрами, свободная вершина связана с атомом Fe в координационном пятивершиннике (искаженная тетрагональная пирамида с более удаленной одной вершиной основания:  $2,33 \text{ \AA}$  против  $1,98 \div 2,16 \text{ \AA}$  у других). У двух Fe-пятивершинников общее ребро, и они вместе с ана-

логичными, но несколько увеличенными пятивершинниками Na образуют колонки, которые тянутся вдоль оси  $a$  (рис. 4). У атомов K координация равна 10. Предложенная структура хорошо объясняет две совершенные спайности по плоскостям (010) и (001), т. е. параллельным осям трубки.

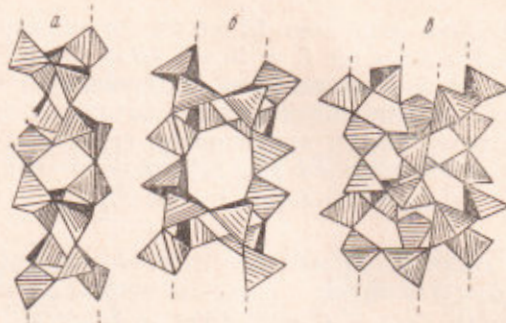


Рис. 3. Трубчатые кремнекислородные радикалы с диметасиликатной формулой  $[Si_2O_5]_n$ :  
а — нарсарсукитовый, б — фенакситовый, в — канаситовый

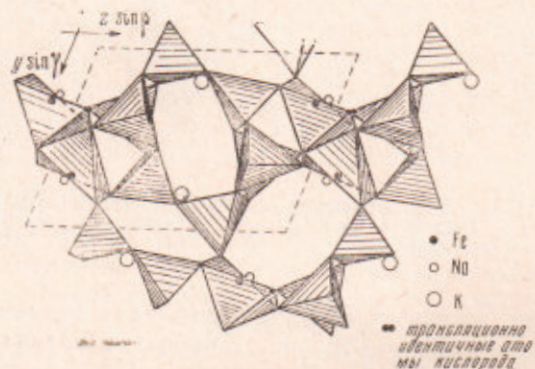


Рис. 4. Фенаксит. Проекция вдоль оси  $x$ . Выделены Si-тетраэдры и Fe-пятивершинники

Авторы выражают признательность М. Д. Дорфману за предоставление образцов фенаксита для исследования и позволяют себе высказать мнение, чтобы имя первооткрывателя и канасита и фенаксита было закреплено за новой трубчатой кремнекислородной лентой в фенаксите.

Горьковский физико-технический институт  
при Горьковском государственном университете  
им. Н. И. Лобачевского

Поступило  
26 V 1970

#### ЦИТИРОВАННАЯ ЛИТЕРАТУРА

- <sup>1</sup> М. Д. Дорфман, Д. Л. Рогачев и др. Тр. Минералогич. музея, в. 9, 152 (1959).
- <sup>2</sup> В. П. Головачев, Кристаллография, 9, № 1, 101 (1964).
- <sup>3</sup> D. C. Phillips, Acta Cryst., 7, 746 (1954).
- <sup>4</sup> Э. А. Кузьмин, В. В. Илюхин, Н. В. Белов, ЖСХ, 9, № 5, 820 (1968).
- <sup>5</sup> Э. А. Кузьмин, В. В. Илюхин, Н. В. Белов, ДАН, 173, № 5 (1967).
- <sup>6</sup> Р. М. Ганиев, В. В. Илюхин, Н. В. Белов, ДАН, 190, № 4 (1970).
- <sup>7</sup> Ю. А. Питенко, З. В. Пудовкина, Кристаллография, 5, № 4 (1960).
- <sup>8</sup> М. И. Чирагов, Х. С. Мамедов, Н. В. Белов, ДАН, 185, № 3 (1969).